

水温形成に関する因子および表流水木温の変動解析

○ 東北大学工学部准平田 強

(2) 佐藤 敦久

I.はじめに 木質構成成分の質的変換を行なう主たる素反応は生物・化学的反応でありこれらは反応温度による影響を強く受ける。また青木域における木体の安定性を支配する要因の一つはその木体の水温分布(正確には密度分布)であり木温に基づく木体の質量により水質の変化過程が転換される。一方、表流水の水温形成は気象因子が大きく関与しており季節に日射量、気温、風速、湿度の四因子の寄与が大きい。本研究はこれらの気象因子と河川水温の日周変動についての知見を得るとともに表面熱収支に基づく表流水の水温形成について若干の解析的表現を試みたものである。なお、使用したデータは全て釜房湖流域内において得られたものである。

II. 気象因子の変動特性 32日分毎の日射量のフーリエ変換より得られた12組(月)のフーリエ係数を平均して求めた年平均フーリエスペクトルを図-1に示す。24, 12時間周期(周波数 1, 2 (1/d))成分が卓越し、さらに8時間周期成分も小さいながらもヒープとして存在しており日射量の平均的な日周変化は(1式)においてこれを最大3として取扱えば

$$f(t) = A_0 + \sum_{j=1}^n A_j \cos(j\omega t + \phi_j) \quad (1)$$

よいことわかる。そこで $j=0 \sim 3$ の各月毎の振幅を図-2、また24時間周期成分の振幅に対する12, 8時間周期成分の比を図示すると図-3のようになり $j=2, 3$ の成分が日周変化特性の季節変化を追隨し明確な年周性を示すが、日量に関しては必ずしも明確な年周性は示さない。

気温、風速、湿度については4月の1ヶ月分のデータしか数値化されていないためデータ数の制約からスペクトルの精度はやや落ちるが、その大略は把握ことができる。まろ、これら三因子のフーリエスペクトルを図-4~6に示す。24時間以下の短周期成分についてみると気温では24時間周期性が卓越し次いで12時間周期性が若干認められるが、風速では卓越する周期成分は認められず、また湿度では24時間周期性が若干認められるものの、その卓越性は小さい。

III. 河川水温の変動特性 河川水温については釜房湖流入河川の前川に設置された水温自動観測用装置により得られたデータを1年分について利用でき、日射量の場合と同様に取扱い、年平均フーリエスペクトルを図-7、各成分の振幅と振幅比の月別の値をそれぞれ図-8, 9に示す。河川水温の場合も24, 12時間周期成分が卓越した成分として存在するが、それ以外の卓抜成分は存在しない。振幅比では冬期に大きく夏季に小さくなる傾向はあるものの日射量の場合のように明確な年周性は想定できない。また各成分の振幅にみれば24, 12時間成分は日射量の場合と似かよった変化を示さず、定数項にみれば日射量の場合よりもむしろ河川水温の場合の方が明確な年周性を示すことが注目される。

IV. 表面熱収支による河川水温の形成 水の出入りのない単一河川においてその水深を h 、平均流速を v 、流下距離を x とするとき、時間、場所によらず一定であるとし、熱の出入りはその表面のみであるとする、熱収支式は Euler 的に表現すれば(2式)となる。

$$\frac{\partial \theta}{\partial t} + v \frac{\partial \theta}{\partial x} - k \frac{\partial^2 \theta}{\partial x^2} - F(x, t, \theta) = 0 \quad (2)$$

θ: 水温, t: 時間, x: 流下距離, F: 木体に加えられる正味の熱エネルギー

F として流域の平均的性状を用いることにより(3式)で表わされる。

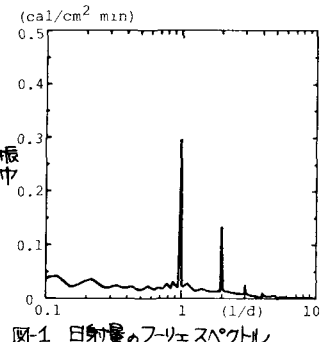


図-1 日射量のフーリエスペクトル

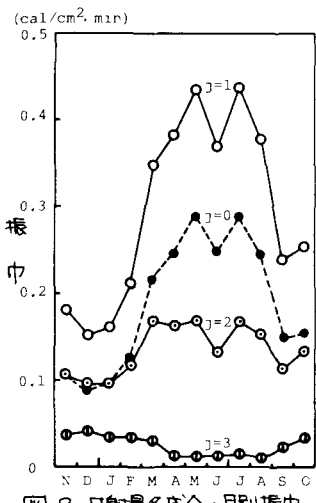


図-2 日射量各成分の月別振幅

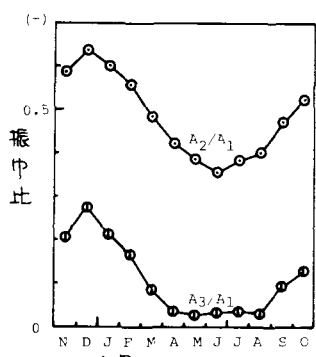


図-3 日射量各成分の月別振幅比

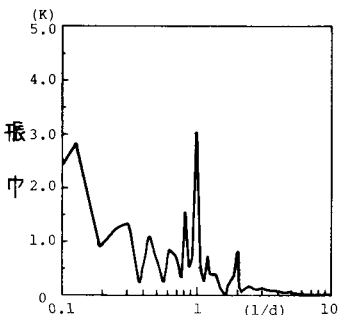


図-4 気温のフーリエスペクトル

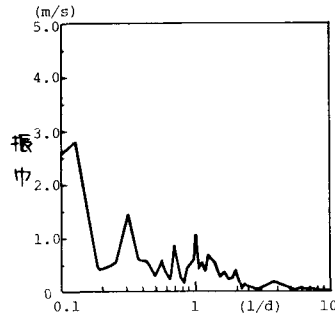


図-5 風速のフーリエスペクトル

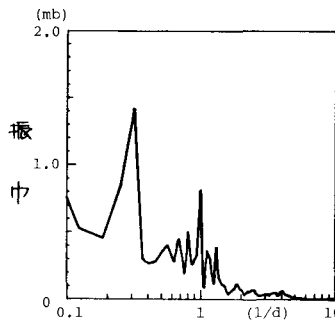


図-6 湿度のフーリエスペクトル

$$F(x, t, \theta) = F(t, \theta) = (1-a)I + R + H + LE \quad \dots \dots \quad (3)$$

a:反射率, I:日射量, R:長波吸収, H:顯熱吸収, LE:潜熱吸収

$$= = =, R = \varepsilon \sigma f \{ (a_r + b_r \sqrt{e_a}) \theta_a^4 - \theta_e^4 \}, H = h_1 (\theta_a - \theta_e), LE = h_2 (e_a - e_w) \quad \dots \dots \quad (4)$$

ε :射出率 (≈ 1.0), f : Stefan-Boltzmann定数, f :長波放射吸収に關する重量による係数, a_r, b_r :大気放射吸収係数, θ_a :気温, θ_e :顯熱伝達係数, h_1 :潜熱伝達係数, e_a :大気中の水蒸気圧力, e_w :水温日ににおける飽和水蒸気圧力

= = = IIで得られた知識から,

$$\begin{aligned} I &= A_0 + \sum_{j=1}^n A_j \cos(j\omega t + \delta_j), \quad \theta_a = B_0 + \sum_{j=1}^n B_j \cos(j\omega t + \beta_j) \\ e_a &= \bar{e}_a, \quad h_1, h_2 = \text{const} \end{aligned} \quad \dots \dots \quad (5)$$

とし、さらに、 e を総対湿度の逆数の関数 ($e_w^{-1} \exp(b_e - a_e/\theta)$) で近似し、Rとeについて θ の表でTaylor展開して一次の項までの近似式を用ひてヒヒヒ、「 $x=0$ 」

$\theta = \bar{\theta}_0 + \sum_{j=1}^n \theta_{0j} \cos(j\omega t + \delta_j)$ および「 $x=\infty$ 」 θ_j は有限値に收束する」の境界条件で(2)式を解くと次式(6)が得られる。

$$\begin{aligned} \theta(x, t) &= \frac{H_3}{H_1} - \left(\frac{H_3 - \bar{\theta}_0}{H_1} \right) \exp\left(\frac{G_3}{2}x\right) + \sum_{j=1}^n \theta_{0j} \exp\left(\frac{G_3}{2}x\right) \cos\left(j\omega t + \delta_j - \frac{G_3}{2}x\right) \\ &\quad + \sum_{j=1}^n C_j \left\{ 1 - \exp\left(\frac{G_3}{2}x\right) \left(2 \cos\frac{G_4}{2}x - \exp\left(\frac{G_4}{2}x\right) \right) \right\}^{\frac{1}{2}} \cos\left(j\omega t + \beta_j + \phi_j + \bar{\theta}_j\right). \end{aligned} \quad (6)$$

$$= = =, H_1 = 4\varepsilon \sigma f \theta^3 + h_1 + h_2 a_e \exp(b_e - a_e/\bar{\theta}) / \bar{\theta}, H_2 = 4\varepsilon \sigma f B_0^3 (a_r + b_r \sqrt{\bar{e}_a}) + h_1,$$

$$H_3 = (1-a)A_0 + \varepsilon \sigma f \{ (a_r + b_r \sqrt{\bar{e}_a}) B_0^4 + 3\bar{e}_a^4 \} + h_1 B_0 + h_2 \{ \bar{e}_a - (1 - \frac{a_e}{\bar{\theta}}) \exp(b_e - a_e/\bar{\theta}) \},$$

$$C_j = \left[\left\{ (1-a)^2 A_j^2 + H_2^2 B_j^2 \right\} / \{ H_1^2 + (c_p \varepsilon j \omega)^2 \} \right]^{\frac{1}{2}}, \quad G_1 = \nu/k, \quad G_2 = G_1^2 + 4H_1/kc_p, \quad G_3 = G_1 - \left\{ \sqrt{G_1^2 + (4\pi \nu)^2} + G_2 \right\}^{\frac{1}{2}}, \quad G_4 = \left\{ (G_1^2 + (4\pi \nu)^2) - G_2 \right\}^{\frac{1}{2}},$$

$$\beta_j = -\arctan \left[- \left\{ (1-a)A_j \sin \delta_j + H_2 B_j \sin \phi_j \right\} / \left\{ (1-a)A_j \cos \delta_j + H_2 B_j \cos \phi_j \right\} \right],$$

$$\phi_j = -\arctan \left(c_p \varepsilon j \omega / H_1 \right), \quad \bar{\theta}_j = -\arctan \left[\exp\left(\frac{G_3}{2}x\right) \sin\left(\frac{G_4}{2}x\right) / \left(1 - \exp\left(\frac{G_3}{2}x\right) \cos\left(\frac{G_4}{2}x\right) \right) \right]$$

(6)式において、右辺第1, 2項が平均値を、オシロ鏡が $x=0$ の境界で与えられた振巾の減衰過程を、オシロ鏡が外的因子(気象因子による出入り)による木温の形成過程を意味し、 x が十分大きくなることは木温の場所的変化には消え、移流、拡散現象は意味を持たなくなる。現時刻では気象因子のデータが不十分であり、 ν, ρ, k, l は関する資料がないため(6)式による具体的な河川木温の評価はできまい。河川木温のスペクトル解析により得られた24, 12時間周周期成分の卓越性の定性的裏付けとしては有効であろう。今後気象データの数値化を進めて(6)式の有効性の検討を行なうとともに、 ν, ρ, k, l を定数として扱うヒヒの問題点について検討する必要がある。V. おわりに 気象データを提供していただいた省気象管理所の方々に深謝する。なお、本研究の計算は全て東北大大学大型計算機センターACOSシステムNEACシステム7000を用いて行なった。

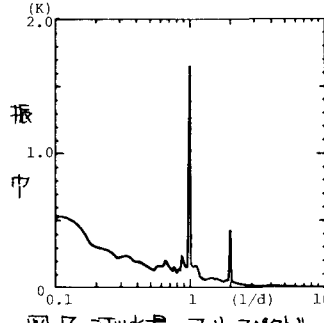


図-7 河川木温のフーリエスペクトル

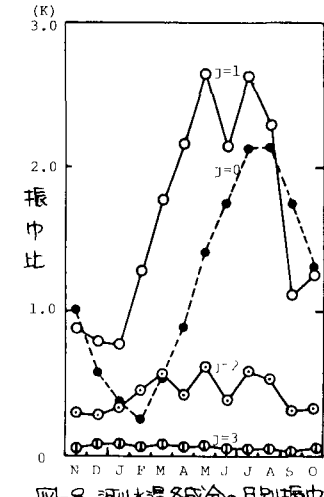


図-8 河川木温各成分の月別振巾

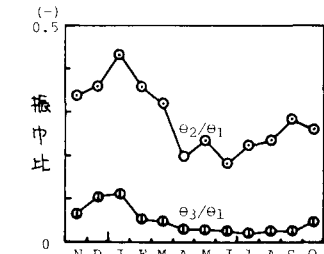


図-9 河川木温各成分の月別振巾比